

ПРОДОЛЬНЫЙ ИЗГИБ СТЕРЖНЕЙ В ФИЗИЧЕСКИ НЕЛИНЕЙНОЙ ПОСТАНОВКЕ

Кобринец В.М. (Одесская государственная академия строительства и архитектуры)

Отримане вирішення позацентрово стиснутого стержня з нелінійно деформованого матеріалу при малому та великому ексцентриситеті за недеформованою схемою.

Определение напряженно-деформированного состояния при продольном изгибе разделяем на две задачи. Напряженное состояние определяется относительно нейтральной оси, деформированное состояние - относительно оси стержня.

Применение классической схемы сопротивления материалов на продольный изгиб с переносом продольной внецентренно сжимающей силы в центр тяжести сечения и приложения там же сосредоточенного момента предлагает получение решения с использованием принципа наложения, что в физически нелинейной постановке не правомерно [1]. Поэтому нужна новая схема и новое решение. Продольную силу нужно учитывать в том месте, где она прикладывается и переносить её куда-нибудь не допустимо.

Аппроксимация опытной диаграммы

$$\sigma = B\sqrt{\varepsilon}, \quad \varepsilon = \frac{\sigma^2}{B^2} \quad (1)$$

Продольный изгиб рассматривается в двух случаях: при малом и большом эксцентриситете. Случай малого эксцентриситета, когда расстояние e_0 приложения продольной силы до оси стержня изменяется в пределах

$$0 \leq e_0 \leq e_0^{gp} \quad (2)$$

Здесь e_0^{gp} - это граничное значение эксцентриситета, при котором нейтральная ось, проходит по грани сечения, а сила прикладывается в центре тяжести эпюры напряжений. Для малого эксцентриситета характерно то, что эпюра напряжений по всему сечению однозначна и нейтральная ось расположена за пределами сечения.

$$0,5h \leq C_{н.о.} \leq C \rightarrow \infty \quad (3)$$

Когда $e_0^{gp} = 0, C_{н.о.} \rightarrow \infty$, это признак центрального сжатия. Построим эпюру напряжений для σ по (1) при e_0^{gp} , рис.1.

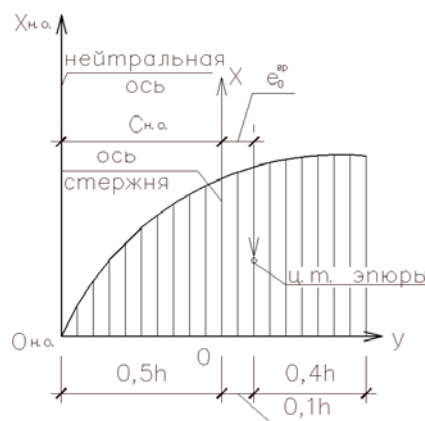


Рис.1. Эпюра напряжений при $e_0^{gp} = 0,1h$

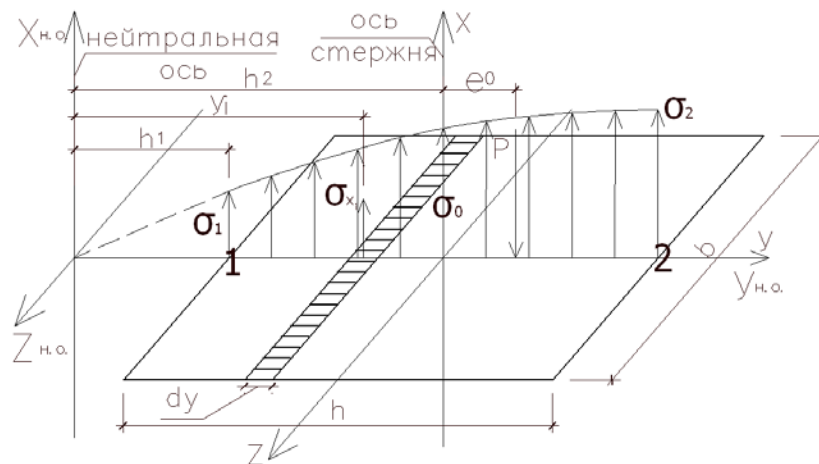


Рис.2. напряженное состояние при малом эксцентриситете

Составим первое уравнение равновесия $\Sigma X = 0$ согласно рис.2. Для примера, сечение стержня возьмем прямоугольное.

$$P = b \int_{h_1}^{h_2} \sigma_x dy \quad (4)$$

Пределы интегрирования:

$$h_1 = C_{н.о.} - 0,5h; h_2 = C_{н.о.} + 0,5h \quad (5)$$

Через $C_{н.о.}$ обозначено расстояние между осью стержня и нейтральной. Подставим в (4) напряжения, выраженные через y и кривизну ρ .

$$\varepsilon = \frac{y}{\rho} \quad \sigma = B \sqrt{\frac{y}{\rho}} \quad (6)$$

$$P = b \int_{h_1}^{h_2} B \sqrt{\frac{y}{\rho}} dy = b \frac{B}{\sqrt{\rho}} \cdot \frac{h_2^{1,5} - h_1^{1,5}}{1,5} \quad (7)$$

тогда

$$\frac{1}{\sqrt{\rho}} = \frac{\sigma}{B \sqrt{y}} \quad (8)$$

Подстановкой где y - это расстояние от нейтральной оси до любого волокна, где определяется напряжение, в (7) получим:

$$\sigma_x(y) = \frac{1,5P \cdot \sqrt{y}}{b[(C_{н.о.} + 0,5h)^{2,5} - (C_{н.о.} - 0,5h)^{2,5}]} \quad (9)$$

При $y = C_{н.о.}$ получим напряжения в центре тяжести сечения:

$$\sigma_0 = \frac{1,5P \cdot \sqrt{C_{н.о.}}}{b[(C_{н.о.} + 0,5h)^{2,5} - (C_{н.о.} - 0,5h)^{2,5}]} \quad (10)$$

Составим второе уравнение равновесия, беря сумму моментов относительно оси $Z_{н.о.}$, $\Sigma M_{н.о.} = 0$

$$P(e_0 + C_{н.о.}) = b \int_{h_1}^{h_2} B \cdot y \sqrt{\frac{y}{\rho}} dy \quad (11)$$

После интегрирования и подстановки $\frac{1}{\rho}$ из (8) получим:

$$\sigma_x(y) = \frac{2,5P \cdot (e_0 + C_{н.о.}) \sqrt{y}}{b[(C_{н.о.} + 0,5h)^{2,5} - (C_{н.о.} - 0,5h)^{2,5}]} \quad (12)$$

Формулу (12) можно представить в таком виде:

$$\sigma_x(y) = \frac{M \sqrt{y}}{I_{Z_{н.о.}}} \quad (13)$$

Момент инерции относительно нейтральной с учетом физической нелинейности:

$$I_{Z_{н.о.}} = \frac{b[(C_{н.о.} + 0,5h)^{2,5} - (C_{н.о.} - 0,5h)^{2,5}]}{2,5} \quad (14)$$

Для определения напряжений получили две формулы (9) и (12), это может показаться странным, но пока остается неизвестным расстояние между осями $C_{н.о.}$. Для этого приравняем σ_0 из (10) и (12), если туда подставить $y = C_{н.о.}$, тогда получим выражение для определения $C_{н.о.}$ через e_0 .

$$e_0 = 0,5 \frac{(C_{н.о.} + 0,5h)^{2,5} - (C_{н.о.} - 0,5h)^{2,5}}{(C_{н.о.} + 0,5h)^{1,5} - (C_{н.о.} - 0,5h)^{1,5}} - C_{н.о.} \quad (15)$$

Величина эксцентриситета приложения силы известно, но определить $C_{н.о.}$ из (15) будет не просто. Будем задавать $C_{н.о.}$ и определять e_0 из (15). Можно с достаточной точностью найти $C_{н.о.}$, соответствующее заданному e_0 . Составляем таблицу 1 значений малого эксцентриситета e_0 при определенном значении $C_{н.о.}$, которая ускорит поиск $C_{н.о.}$.

Таблица 1. Значение малого эксцентриситета для разных $C_{н.о.}$.

$C_{н.о.}$	0,5h	h	1,5h	2,5h	3h	4h	5h
e_0	0,1h	0,043h	0,282h	0,0167h	0,0139h	0,0104h	0,0083h

Вычисление напряжений упростим, если учесть, что радиус кривизны для всех волокон поперечного сечения одинаков. Вычислим напряжения σ_i через σ_0 :

$$\sigma_i = \sigma_0 \sqrt{\frac{y_i}{\sigma_0}} \quad (16)$$

Так, например, при $e_0 = 0,1h, C_{н.о.} = 0,5h$, $\sigma_0 = 1,0606 \frac{P}{bh}$. При этом напряжения σ_2 , для которых $y_2 = h$:

$$\sigma_2 = \sqrt{\frac{h}{0,5h}} = 1,5 \frac{P}{bh} \quad (17)$$

Алгоритм вычислений следующий:

1. Для заданного e_0 определяем интервал нахождения $C_{н.о.}$.
2. Уточняем значение $C_{н.о.}$ по формуле (12).
3. Вычисляем σ_0 по формуле (10).
4. Определяем напряжения во всех интересующих нас волокнах поперечного сечения по формуле (16).

Случай большого эксцентриситета

$$e_0^{гр} \leq e_0 < e \rightarrow \infty$$

Нейтральная ось располагается в пределах в пределах сечения, а эпюра напряжений будет разнозначной. Если $e_0 \rightarrow \infty$, тогда $C_{н.о.} = 0$, а нейтральная ось совпадает с осью стержня. Это признак поперечного изгиба. Как для предыдущего случая составим два уравнения равновесия согласно рис. 3.

Пределы интегрирования:

$$h_2 = 0,5h + C_{н.о.}; h_1 = 0,5h - C_{н.о.}$$

Первое уравнение $\Sigma x = 0$:

$$P = b \int_0^{h_2} \sigma dy - \int_0^{h_1} \sigma dy$$

Откуда получим:

$$\sigma = \frac{1,5P \cdot \sqrt{y}}{b[(0,5h + C_{н.о.})^{1,5} - (0,5h - C_{н.о.})^{1,5}]} \quad (17)$$

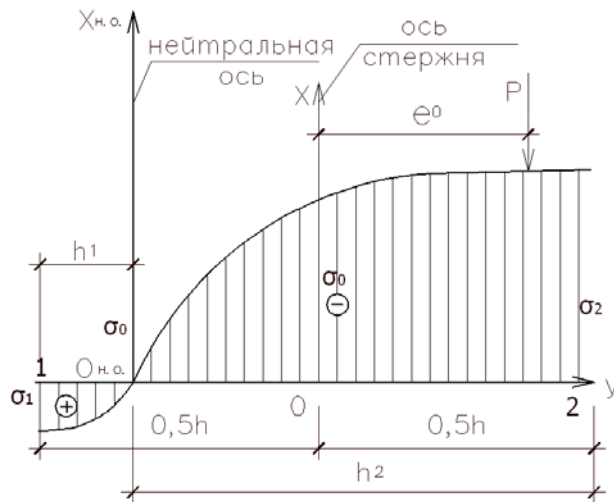


Рис.3. Эпюра напряжений при большем эксцентриситете

Второе уравнение:

$$P(C_{н.о.} + e_0) = b \int_0^{h_2} \sigma y dy + b \int_0^{h_1} \sigma y dy$$

Откуда получим:

$$\sigma = \frac{2,5P \cdot (e_0 + C_{н.о.}) \sqrt{y}}{b[(0,5h + C_{н.о.})^{2,5} - (0,5h - C_{н.о.})^{2,5}]} \quad (18)$$

Сопоставляя (17) и (18) при $C_{н.о.} = 0,5h$ получим условие определения $C_{н.о.}$ через e_0 :

$$e_0 = 0,6 \frac{(0,5h + C_{н.о.})^{2,5} - (0,5h - C_{н.о.})^{2,5}}{(0,5h + C_{н.о.})^{1,5} - (0,5h - C_{н.о.})^{1,5}} - C_{н.о.} \quad (19)$$

Напряжения в любом волокне определяем через σ_0

$$\sigma_i = \pm \sigma_0 \sqrt{\frac{y_i}{y_c}} \quad (20)$$

Знак «+» для напряжений растянутой зоны, знак «-» для сжатой.

Составим таблицу 2 значений большого эксцентриситета при определенном значении

$C_{н.о.}$

Таблица 2. Значение большого эксцентриситета для разных $C_{н.о.}$

$C_{н.о.}$	0,5h	0,4h	0,3h	0,2h	0,1h	0,05h	0,01h	0,001h
e_0	0,1h	0,163h	0,266h	0,454h	0,977h	1,988h	10h	100h

Для большого и малого эксцентриситета построим график σ_0 , рис. 4.

Когда известны напряжения σ_0 , тогда можно найти напряжения в любой точке сечения.

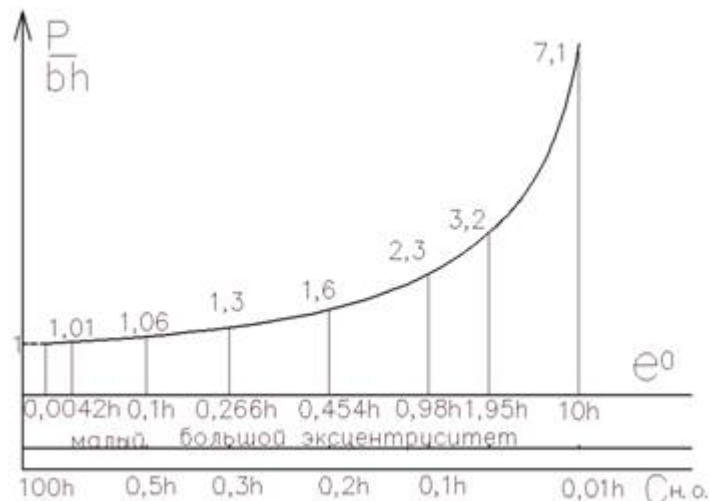


Рис.4. Изменение напряжений в центре тяжести сечения

Выводы

1. Разработана методика расчета внецентрично сжатых стержней в физически нелинейной постановке.
2. Напряжения в центральном волокне при малом эксцентриситете в физически нелинейной и линейной постановке практически совпадают. При большом эксцентриситете в физически нелинейном варианте больше аналогичных напряжений линейного варианта и с ростом эксцентриситета расхождение между ними увеличивается очень резко.
Следует напомнить, что при любом эксцентриситете всегда остаются постоянными.
3. Максимальные напряжения при любом эксцентриситете в физически нелинейной постановке на 25% - 20% меньше максимальных напряжений линейного варианта.
4. Работа физически нелинейного материала при продольном изгибе значительно лучше работы линейно упругого материала, как по наполнению эпюры напряжений, так и по градиенту напряжений по сечению.

1. Кобринец В.М. Сопротивление внецентрично сжатых элементов с учетом с учетом физической нелинейности. //Вісник ОДАБА.- Одеса: Зовнішреклам сервіс, 2007. вип.2.6.- с. 180-183. 2. П.М. Варвак. Новые методы решения задач сопротивления материалов.- К: Виша школа.1977.- 159 с.